

PONTE SULLO STRETTO DI MESSINA



PROGETTO DEFINITIVO

EUROLINK S.C.p.A.

IMPREGILO S.p.A. (MANDATARIA)
SOCIETÀ ITALIANA PER CONDOTTE D'ACQUA S.p.A. (MANDANTE)
COOPERATIVA MURATORI E CEMENTISTI - C.M.C. DI RAVENNA SOC. COOP. A.R.L. (MANDANTE)
SACYR S.A.U. (MANDANTE)
ISHIKAWAJIMA - HARIMA HEAVY INDUSTRIES CO. LTD (MANDANTE)
A.C.I. S.C.P.A. - CONSORZIO STABILE (MANDANTE)

| | | | |
|---|--|---|---|
|  <p>IL PROGETTISTA Dott. Ing. F. Colla Ordine Ingegneri Milano n°20355 Dott. Ing. E. Pagani Ordine Ingegneri Milano n°15408</p>  | <p>IL CONTRAENTE GENERALE</p> <p>Project Manager (Ing. P.P. Marcheselli)</p> | <p>STRETTO DI MESSINA Direttore Generale e RUP Validazione (Ing. G. Fiammenghi)</p> | <p>STRETTO DI MESSINA Amministratore Delegato (Dott. P. Ciucci)</p> |
|---|--|---|---|

| | | |
|---|--|-----------|
| <i>Unità Funzionale</i> | COLLEGAMENTI CALABRIA | CS0480_F0 |
| <i>Tipo di sistema</i> | INFRASTRUTTURE STRADALI OPERE CIVILI | |
| <i>Raggruppamento di opere/attività</i> | ELEMENTI DI CARATTERE GENERALE | |
| <i>Opera - tratto d'opera - parte d'opera</i> | SOTTOPASSO (PROLUNGAMENTO VIA ENRICO COSENZ) | |
| <i>Titolo del documento</i> | RELAZIONE TECNICO DESCRITTIVA DELL'OPERA | |

| | |
|--------|--|
| CODICE | C G 0 7 0 0 P R G D C S C 0 0 S P S 1 0 0 0 0 0 1 F0 |
|--------|--|

| REV | DATA | DESCRIZIONE | REDATTO | VERIFICATO | APPROVATO |
|-----|------------|------------------|-------------|------------|-----------|
| F0 | 20/06/2011 | EMISSIONE FINALE | R.CAFFARENA | G.SCIUTO | F.COLLA |
| | | | | | |
| | | | | | |

| | | | | |
|---|---|---|------------------|---------------------------|
|  |  | Ponte sullo Stretto di Messina PROGETTO DEFINITIVO | | |
| RELAZIONE TECNICO DESCRITTIVA DELL'OPERA | | <i>Codice documento</i> CS0480_F0 | <i>Rev</i> F0 | <i>Data</i> 20/06/2011 |

INDICE

| | |
|---|----|
| INDICE | 3 |
| PREMESSA..... | 4 |
| 1 RIFERIMENTI NORMATIVI | 4 |
| 2 RIFERIMENTI BIBLIOGRAFICI | 6 |
| 3 CARATTERISTICHE MATERIALI..... | 9 |
| 3.1 Conglomerato cementizio | 9 |
| 3.1.1 Conglomerato cementizio per sottofondazioni | 9 |
| 3.1.2 Conglomerato cementizio per fondazioni | 9 |
| 3.1.3 Conglomerato cementizio per elevazioni | 9 |
| 3.2 Acciaio per cemento armato | 10 |
| 4 DESCRIZIONE DELLA STRUTTURA..... | 11 |
| 4.1 CARATTERISTICHE GEOMETRICHE E UBICAZIONE DELLA STRUTTURA..... | 11 |
| 4.2 CARATTERIZZAZIONE GEOTECNICA DEL LUOGO..... | 13 |
| 4.3 CARATTERIZZAZIONE DELLA SISMICITA' DEL LUOGO | 24 |
| 4.4 CRITERI GENERALI DI PROGETTAZIONE | 28 |
| 4.4.1 Durabilità delle opere..... | 28 |
| 5 FASI COSTRUTTIVE..... | 29 |
| 6 ELABORATI DI RIFERIMENTO..... | 29 |

| | | | | |
|---|---|---|------------------|---------------------------|
|  |  | Ponte sullo Stretto di Messina PROGETTO DEFINITIVO | | |
| RELAZIONE TECNICO DESCRITTIVA DELL'OPERA | | <i>Codice documento</i> CS0480_F0 | <i>Rev</i> F0 | <i>Data</i> 20/06/2011 |

PREMESSA

La presente relazione riguarda il dimensionamento statico dello scatolare di prolungamento dell'attuale sottopasso di via Enrico Cosenz denominato "Prolungamento-Via Enrico Cosenz" (dimensioni interne 8.0x8.0 m), nell'ambito del progetto Definitivo per la realizzazione del "Ponte sullo Stretto di Messina".

1 RIFERIMENTI NORMATIVI

- [NT_1]. D.M. 14.01.2008 "Norme tecniche per le costruzioni (Gazzetta ufficiale 04/02/2008 n. 29)"
- [NT_2]. C.M. 02.02.2009 "Istruzioni per l'applicazione delle Nuove Norme tecniche per le costruzioni (Gazzetta ufficiale 04/02/2008 n. 29)"
- [NT_3]. UNI EN 1990: 2006 "Eurocodice 0 – Criteri generali di progettazione strutturale"
- [NT_4]. UNI EN 1991-1-1: 2004 "Eurocodice 1 – Azioni sulle strutture – Parte 1-1: Azioni in generale – Pesi per unità di volume, pesi propri e sovraccarichi per gli edifici"
- [NT_5]. UNI EN 1991-1-4: 2005 "Eurocodice 1 – Azioni sulle strutture – Parte 1-4: Azioni in generale – Azioni del vento"
- [NT_6]. UNI EN 1991-1-5: 2004 "Eurocodice 1 – Azioni sulle strutture – Parte 1-5: Azioni in generale – Azioni termiche"
- [NT_7]. UNI EN 1991-2: 2005 "Eurocodice 1 – Azioni sulle strutture – Parte 2: Carichi da traffico sui ponti"
- [NT_8]. UNI EN 1992-1-1: 2005 "Eurocodice 2 – Progettazione delle strutture di calcestruzzo – Parte 1-1: Regole generali e regole per gli edifici"
- [NT_9]. UNI EN 1992-2: 2006 "Eurocodice 2 – Progettazione delle strutture di calcestruzzo – Parte 2: Ponti di calcestruzzo – Progettazione e dettagli costruttivi"
- [NT_10]. UNI EN 1993-1-5: 2007 "Eurocodice 3 – Progettazione delle strutture di acciaio – Parte 1-5: Elementi strutturali a lastra"
- [NT_11]. UNI EN 1993-1-9: 2005 "Eurocodice 3 – Progettazione delle strutture di acciaio – Parte 1-9: Fatica"
- [NT_12]. UNI EN 1993-2: 2007 "Eurocodice 3 – Progettazione delle strutture di acciaio – Parte 2: Ponti in acciaio"
- [NT_13]. UNI EN 1994-2: 2006 "Eurocodice 4 – Progettazione delle strutture composte acciaio-

| | | | | |
|---|---|---|------------------|---------------------------|
|  |  | Ponte sullo Stretto di Messina PROGETTO DEFINITIVO | | |
| RELAZIONE TECNICO DESCRITTIVA DELL'OPERA | | <i>Codice documento</i> CS0480_F0 | <i>Rev</i> F0 | <i>Data</i> 20/06/2011 |

calcestruzzo – Parte 2: Regole generali e regole per i ponti”

- [NT_14]. UNI EN 1997-1: 2005 “Eurocodice 7 – Progettazione geotecnica – Parte 1: Regole generali”
- [NT_15]. UNI EN 1998-1: 2005 “Eurocodice 8 – Progettazione delle strutture per la resistenza sismica – Parte 1: Regole generali, azioni sismiche e regole per gli edifici”
- [NT_16]. UNI EN 1998-5: 2005 “Eurocodice 8 – Progettazione delle strutture per la resistenza sismica – Parte 5: Fondazioni, strutture di contenimento ed aspetti geotecnici”
- [NT_17]. UNI 11104-2004 “Calcestruzzo – Specificazione, prestazione, produzione e conformità – Istruzioni complementari per l’applicazione della EN 206-1”
- [NT_18]. UNI EN 197-1-2007 “Cemento: Parte 1 - Composizione, specificazioni e criteri di conformità per cementi comuni
- [NT_19]. UNI EN 206-1-2006 “Calcestruzzo. Specificazioni, prestazioni, produzione e conformità”
- [NT_20]. CNR DT 207: 2008 “Istruzioni per la valutazione delle azioni e degli effetti del vento sulle costruzioni”

| | | | | |
|---|---|---|------------------|---------------------------|
|  |  | Ponte sullo Stretto di Messina PROGETTO DEFINITIVO | | |
| RELAZIONE TECNICO DESCRITTIVA DELL'OPERA | | <i>Codice documento</i> CS0480_F0 | <i>Rev</i> F0 | <i>Data</i> 20/06/2011 |

2 RIFERIMENTI BIBLIOGRAFICI

RIFERIMENTI PER CALCOLO STRUTTURALE

- [B1]. A.I.C.A.P. [2006] - "Guida all'uso dell'Eurocodice 2"
- [B2]. ANTONIO MIGLIACCI, FRANCO MOLA [2003] - "Progetto agli stati limite delle strutture in c.a."
- [B3]. CSI COMPUTER & STRUCTURE [2009] - "SAP 2000 user's manual"
- [B4]. C. CESTELLI GUIDI [1987] - "Cemento armato precompresso"
- [B5]. DAVID COLLINGS [2005] - "Steel-concrete composite bridge"
- [B6]. ERASMO VIOLA [1992] - "Scienza delle costruzioni"
- [B7]. INTERNETIONAL CENTRE FOR MECHANICAL SCIENCES [2003] - "Strutture composte: nuove costruzioni – recupero – ponti"
- [B8]. LUIGI SABBARELLA [1998] - "Il cemento armato: la tecnica e la statica"
- [B9]. MARIO PETRANGELI [1996] - "Progettazione e costruzione di ponti"
- [B10]. MARCELLO ARICI, ENZO SIVIERO [2005] - "Nuovi orientamenti per la progettazione di Ponti e Viadotti"
- [B11]. NIGEL R. HEWSON [2006] - "Prestressed concrete bridge: design and construction"
- [B12]. O. BELLUZZI [1996] - "Scienza delle costruzioni"
- [B13]. PAOLO RUGALI [2008] - "Calcolo di strutture in acciaio; guida all'Eurocodice 3"
- [B14]. P. POZZATI, C. CECCOLI [2000] - "Teoria e tecnica delle strutture"
- [B15]. R. WALTHER, B. HOURIET, W. ISLER, P. MOIA, J.F. KLEIN [2008] - "Cable stayed bridges"
- [B16]. WAI-FAH CHEN, LIAN DUAN [2000] - "Bridge engineering, substructure design"

RIFERIMENTI PER CALCOLO SISMICO

- [B17]. ANDRE' PREUMONT, KAZUTO SETO [2008] - "Active control of structures"
- [B18]. AMR S. ELNASHI, LUIGI DI SARNO [2008] - "Fundamental of earthquake engineering"
- [B19]. C. CASAROTTI, R. PINHO, G.M. CALVI [2006] - "Adaptive pushover-based methods for seismic assessment and design of bridge structure"
- [B20]. C.G. LAI, S. FOTI, M. ROTA [2009] - "Input sismico e stabilità geotecnica dei siti in costruzione"
- [B21]. D. PIETRA, G.M. CALVI, R. PINHO [2008] - "Displacement-based seismic design of isolated bridge"

| | | | | |
|---|---|---|-----------|--------------------|
|  |  | Ponte sullo Stretto di Messina PROGETTO DEFINITIVO | | |
| RELAZIONE TECNICO DESCRITTIVA DELL'OPERA | | Codice documento CS0480_F0 | Rev F0 | Data 20/06/2011 |

- [B22]. ERASMO VIOLA [2001] - "Fondamenti di dinamica e vibrazione delle strutture"
- [B23]. IUSS PRESS, rivista quadrimestrale - "Progettazione sismica"
- [B24]. M.J.N. PRIESTLEY, G.M. CALVI, M.J. KOWLASKY [2007] - "Displacement-based seismic design of structures"
- [B25]. P.E. PINTO, P. FRANCHIN, A. LUPOI [2009] - "Valutazione e consolidamento sismico dei ponti esistenti"
- [B26]. P.E. PINTO, R. GIANNINI, P. FRANCHIN [2004] - "seismic reliability analysis of structures"

RIFERIMENTI PER CALCOLO GEOTECNICO

- [B27]. ASSOCIAZIONE GEOTECNICA ITALIANA [1984] - "Raccomandazioni sui pali di fondazione"
- [B28]. BRINCH-HANSEN, J. [1961] - "A General Formula for Bearing Capacity" - The Danish Geotechnical Institute, Bull. n.11, Copenhagen.
- [B29]. BRINCH-HANSEN, J. [1970] - "A Revised and Extended Formula for Bearing Capacity" - The Danish Geotechnical Institute, Bull. n.28, Copenhagen.
- [B30]. BUSTAMANTE M. & DOIX B. (1985) - "Une méthode pour le calcul des tirants et des micropieux injectés" Bulletin Laboratoire Central des Ponts et Chaussées, n°140, nov.-déc., ref. 3047
- [B31]. BUSTAMANTE M., GIANESELLI L.. [1982] - "Pile bearing capacity prediction by means of static penetrometer CPT" -.Pr. of the 2th European symposium on penetration testing, Amsterdam.
- [B32]. BOWLES J.E. [1991] - "Fondazioni – Progetto e Analisi" - Editore McGraw-Hill
- [B33]. CARLO CESTELLI GUIDI [1987] - "Geotecnica e tecnica delle fondazioni"
- [B34]. DE BEER, E.E., LADANYI, B. [1961] - "Etude experimentale de la capacite portante du sable sous des fondations circulaires etablies en surface". 5th ICSMFE, Paris, 1, 577-581.
- [B35]. GROUP 7.0 for windows [2000] - Technical & User's manual – Ensoft Inc.
- [B36]. H.G. POULOS, E.H. DAVIS [2002] - "Analisi e progettazione di fondazioni su pali"
- [B37]. JAMIOLKOWSKI M. et al. [1983] - "Scale effects of ultimate pile capacity" - Discussion, JGED, ASCE.
- [B38]. LANCELLOTTA R. [1991] " Geotecnica" – Edizioni Zanichelli.
- [B39]. MEYERHOF, G.G. [1951] - "The Ultimate Bearing Capacity of Foundations" -

| | | | | |
|---|---|---|------------------|---------------------------|
|  |  | Ponte sullo Stretto di Messina PROGETTO DEFINITIVO | | |
| RELAZIONE TECNICO DESCRITTIVA DELL'OPERA | | <i>Codice documento</i> CS0480_F0 | <i>Rev</i> F0 | <i>Data</i> 20/06/2011 |

Geotechnique, 2, 301-332.

- [B40]. MEYERHOF, G.G. [1951] - "Some recent research on the bearing capacity of foundations" - *Canadian Geotechnical Journal*, 1, 16-26
- [B41]. MEYERHOF G.G., SASTRY V.V.R.N. [1978] - "Bearing capacity of piles in layered soils. Part 1. Clay overlying sand" - *Canadian Geotechnical Journal*, 15, 171-182, 183-189.
- [B42]. REESE L.C., WRIGHT S.J. [1977] - "Drilled shaft manual" - U.S. Dept. Transportation, Offices of Research and Development, Implementation Div., HDV 2, Washington D.C., vol.1
- [B43]. REESE L.C., W.R.COX, F.D. KOOP [1974] - "Analysis of laterally loaded piles in sand" – Paper N° OCT 2080, Proceedings, Fifth Annual Offshore Technology Conference, Houston, Texas, 1975.
- [B44]. REESE L.C., W.R.COX, F.D. KOOP [1975] - "Field testing and analysis of laterally loaded piles in stiff clay" – Paper N° OCT 2313, Proceedings, Seventh Offshore Technology Conference, Houston, Texas, 1975.
- [B45]. REESE L.C., WELCH R.C. [1975] - "Lateral loading of deep foundations in stiff clay" – *Journal of the geotechnical Division, ASCE, Vol. 101, No GT7, Proceedings Paper 11456, 1975, pp. 633 – 649.*
- [B46]. SKEMPTON, A. W. [1951] - "The bearing capacity of clays" - *Building Research Congress, London, 1, 180-189.*
- [B47]. VESIC, A.S. [1970] - "Tests on instrumented Piles, Ogeechee River Site" - *JSMFD, ASCE, V. 96, N. SM2, Proc. Paper 7170, March.*
- [B48]. VESIC, A.S. [1973] - "Analysis of Ultimate Loads of Shallow Foundations". - *JSMFD, ASCE, Jan., 45-73.*
- [B49]. WELCH, R.C., REESE L.C. [1972] - "Laterally loaded Behavior of drilled shafts" – *Research Report N° 3-5-65-89, conducted for Texas Highway Department and U.S. Department of Transportation, Federal Highway Administration, Bureau of Public Roads, by Center for Highway Research, The University of Austin.*

|  |  | Ponte sullo Stretto di Messina PROGETTO DEFINITIVO | | | | | |
|---|---|---|--|------------|-------------|----|------------|
| RELAZIONE TECNICO DESCRITTIVA DELL'OPERA | | <i>Codice documento</i> CS0480_F0 | <table border="1" style="width: 100%; border-collapse: collapse;"> <thead> <tr> <th style="text-align: left;"><i>Rev</i></th> <th style="text-align: left;"><i>Data</i></th> </tr> </thead> <tbody> <tr> <td style="text-align: center;">F0</td> <td style="text-align: center;">20/06/2011</td> </tr> </tbody> </table> | <i>Rev</i> | <i>Data</i> | F0 | 20/06/2011 |
| <i>Rev</i> | <i>Data</i> | | | | | | |
| F0 | 20/06/2011 | | | | | | |

3 CARATTERISTICHE MATERIALI

3.1 Conglomerato cementizio

I conglomerati cementizi dovranno essere realizzati in accordo con le normative UNI 11104 e UNI EN 206-1; più in dettaglio ogni parte strutturale dovrà possedere le seguenti caratteristiche resistenti:

3.1.1 Conglomerato cementizio per sottofondazioni

| | |
|--------------------------------------|-----------------------------------|
| Classe | C12/15 |
| Resistenza caratteristica cubica | $f_{ck,cube} = 15 \text{ N/mm}^2$ |
| Resistenza caratteristica cilindrica | $f_{ck,cyl} = 12 \text{ N/mm}^2$ |
| Classe di esposizione | X0 |
| Classe di consistenza | S4 / S5 |

3.1.2 Conglomerato cementizio per fondazioni

| | |
|--------------------------------------|--|
| Classe | C25/30 |
| Resistenza caratteristica cubica | $f_{ck,cube} = 30 \text{ N/mm}^2$ |
| Resistenza caratteristica cilindrica | $f_{ck,cyl} = 25 \text{ N/mm}^2$ |
| Resistenza di calcolo a compressione | $f_{cd} = \alpha_{cc} * f_{ck}/\gamma_c = 0,85 * f_{ck}/1,5 = 14,167 \text{ N/mm}^2$ |
| Resistenza a trazione media | $f_{ctm} = 0,30 * f_{ck}^{2/3} = 2,565 \text{ N/mm}^2$ |
| Resistenza a trazione (frattile 5%) | $f_{ctk 0,05} = 0,7 * f_{ctm} = 1,795 \text{ N/mm}^2$ |
| Resistenza a trazione di calcolo | $f_{ctd} = f_{ctk0,05} / \gamma_c = 1,197 \text{ N/mm}^2$ |
| Classe di esposizione | XC2 |
| Classe di consistenza | S4 |

3.1.3 Conglomerato cementizio per elevazioni

| | |
|--------------------------------------|--|
| Classe | C32/40 |
| Resistenza caratteristica cubica | $f_{ck,cube} = 40 \text{ N/mm}^2$ |
| Resistenza caratteristica cilindrica | $f_{ck,cyl} = 32 \text{ N/mm}^2$ |
| Resistenza di calcolo a compressione | $f_{cd} = \alpha_{cc} * f_{ck}/\gamma_c = 0,85 * f_{ck}/1,5 = 18,133 \text{ N/mm}^2$ |

|  |  | Ponte sullo Stretto di Messina PROGETTO DEFINITIVO | | | | | |
|---|---|---|--|------------|-------------|----|------------|
| RELAZIONE TECNICO DESCRITTIVA DELL'OPERA | | <i>Codice documento</i> CS0480_F0 | <table border="1" style="width: 100%; border-collapse: collapse;"> <thead> <tr> <th style="text-align: left;"><i>Rev</i></th> <th style="text-align: left;"><i>Data</i></th> </tr> </thead> <tbody> <tr> <td style="text-align: center;">F0</td> <td style="text-align: center;">20/06/2011</td> </tr> </tbody> </table> | <i>Rev</i> | <i>Data</i> | F0 | 20/06/2011 |
| <i>Rev</i> | <i>Data</i> | | | | | | |
| F0 | 20/06/2011 | | | | | | |

| | | |
|-------------------------------------|--------------------------------------|---------------------------|
| Resistenza a trazione media | $f_{ctm} = 0,30 * f_{ck}^{2/3}$ | = 3,024 N/mm ² |
| Resistenza a trazione (frattile 5%) | $f_{ctk\ 0,05} = 0,7 * f_{ctm}$ | = 2,117 N/mm ² |
| Resistenza a trazione di calcolo | $f_{ctd} = f_{ctk\ 0,05} / \gamma_c$ | = 1,411 N/mm ² |
| Classe di esposizione | XC4 – XS1– XF2 | |
| Classe di consistenza | S4 | |

3.2 Acciaio per cemento armato

Per le armature metalliche si adottano tondini in acciaio del tipo B450C controllato in stabilimento che presentano le seguenti caratteristiche:

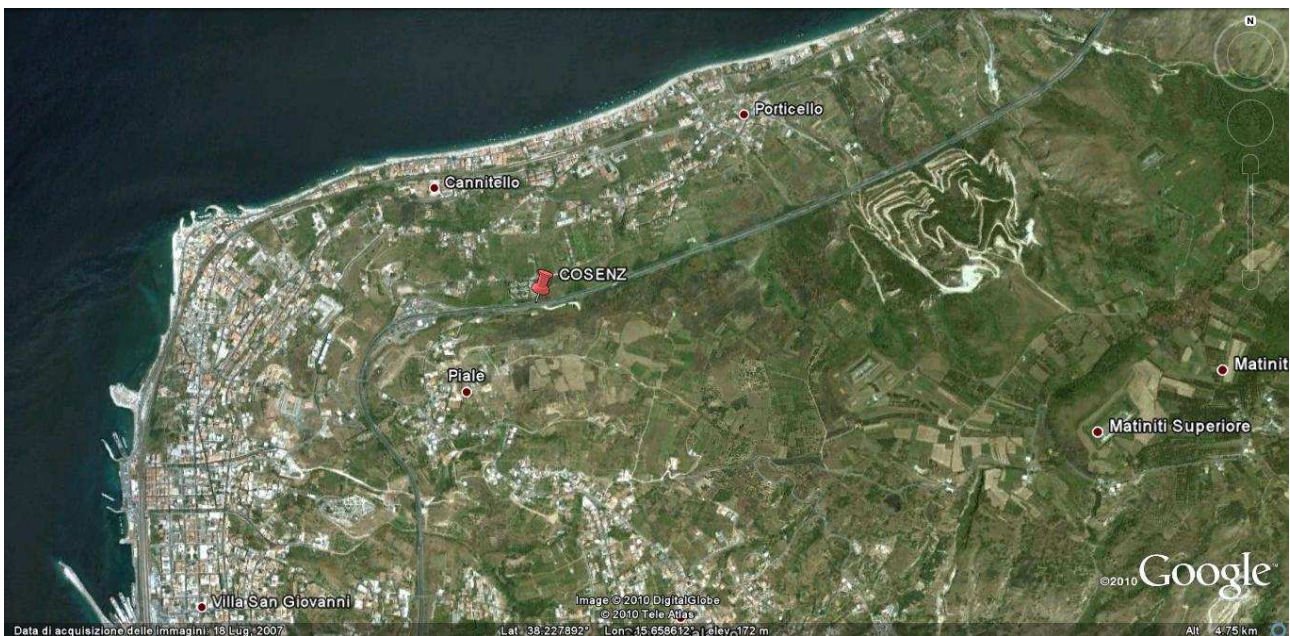
| | |
|---|---|
| Tensione di snervamento caratteristica | $f_{yk} \geq 450 \text{ N/mm}^2$ |
| Tensione caratteristica a rottura | $f_{tk} \geq 540 \text{ N/mm}^2$ |
| Resistenza di calcolo | $f_{yd} = f_{yk} / \gamma_s = 450/1,15 = 391,30 \text{ N/mm}^2$ |
| Deformazione caratteristica al carico massimo | $\epsilon_{uk} = 7,5 \%$ |
| Deformazione di progetto | $\epsilon_{ud} = 6,75 \%$ |

| | | | | |
|---|---|---|------------------|---------------------------|
|  |  | Ponte sullo Stretto di Messina PROGETTO DEFINITIVO | | |
| RELAZIONE TECNICO DESCRITTIVA DELL'OPERA | | <i>Codice documento</i> CS0480_F0 | <i>Rev</i> F0 | <i>Data</i> 20/06/2011 |

4 DESCRIZIONE DELLA STRUTTURA

4.1 CARATTERISTICHE GEOMETRICHE E UBICAZIONE DELLA STRUTTURA

La zona in cui è individuata l'opera esaminata nel presente documento, ricade all'incirca alla Latitudine di 38,228688 e Longitudine di 15,653269.



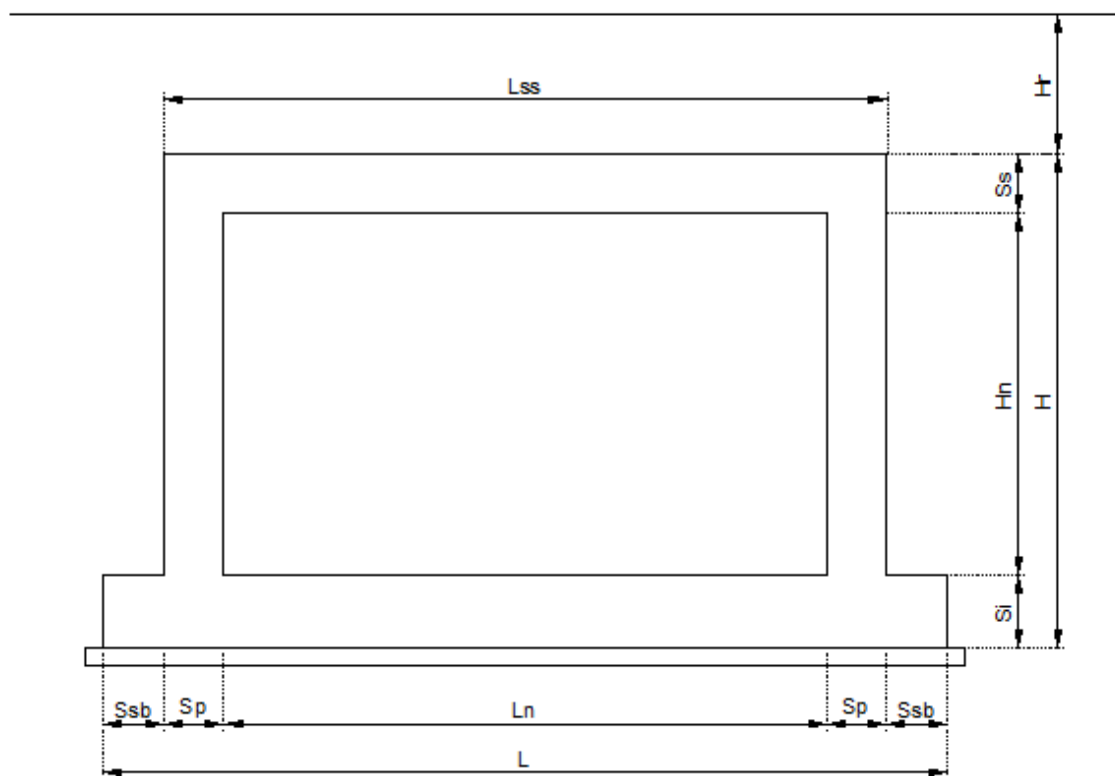
F1. Individuazione della zona in cui ricade l'opera

L'opera in oggetto è costituita da una struttura scatolare in c.a. gettato in opera. L'andamento è rettilineo, con ingresso ed uscita inclinati di 40° rispetto all'asse longitudinale ed ha uno sviluppo totale di 24m.

La sezione dello scatolare è rettangolare, di luce interna netta strutturale pari a 8.0x8.0 m ed è realizzato da una soletta di fondazione su cui si innestano i piedritti, costituiti da setti continui in cemento armato a spessore costante e sui quali si realizzerà la soletta di copertura, costituita da una piastra in calcestruzzo armato, anch'essa a spessore costante.

La geometria è quella riportata nella Fig. 2

| | | | | | | | |
|---|---|---|--|------------|-------------|----|------------|
|  |  | Ponte sullo Stretto di Messina PROGETTO DEFINITIVO | | | | | |
| RELAZIONE TECNICO DESCRITTIVA DELL'OPERA | | <i>Codice documento</i> CS0480_F0 | <table border="1" style="width: 100%; border-collapse: collapse;"> <tr> <td style="width: 50%;"><i>Rev</i></td> <td style="width: 50%;"><i>Data</i></td> </tr> <tr> <td>F0</td> <td>20/06/2011</td> </tr> </table> | <i>Rev</i> | <i>Data</i> | F0 | 20/06/2011 |
| <i>Rev</i> | <i>Data</i> | | | | | | |
| F0 | 20/06/2011 | | | | | | |



F2. Sezione trasversale scatolare

| | | | | | |
|------------|-------|------------|------|---------|-------|
| $L_n =$ | 8m | $S_{si} =$ | 1,2m | $H_r =$ | 0,6m |
| $L =$ | 10,6m | $S_{si} =$ | 1,2m | $H_n =$ | 8m |
| $L_{ss} =$ | 10,2m | $S_p =$ | 1,1m | $H =$ | 10,4m |
| | | $S_{sb} =$ | 0,2m | | |

Le azioni considerate nel calcolo sono quelle tipiche di una struttura interrata con le aggiunte delle azioni di tipo stradale, con applicazione della Normativa sui ponti stradali D. M. Min. II. TT. del 14 gennaio 2008 – Norme tecniche per le costruzioni.

| | | | | | | | |
|---|---|---|---|------------|-------------|----|------------|
|  |  | Ponte sullo Stretto di Messina PROGETTO DEFINITIVO | | | | | |
| RELAZIONE TECNICO DESCRITTIVA DELL'OPERA | | <i>Codice documento</i> CS0480_F0 | <table border="1" style="width: 100%;"> <tr> <td style="width: 50%;"><i>Rev</i></td> <td style="width: 50%;"><i>Data</i></td> </tr> <tr> <td>F0</td> <td>20/06/2011</td> </tr> </table> | <i>Rev</i> | <i>Data</i> | F0 | 20/06/2011 |
| <i>Rev</i> | <i>Data</i> | | | | | | |
| F0 | 20/06/2011 | | | | | | |

4.2 CARATTERIZZAZIONE GEOTECNICA DEL LUOGO

Facendo riferimento ai profili geomorfologici e geotecnici di progetto (a cui si rimanda per maggior dettaglio), la zona in cui ricade l'opera in oggetto presenta una stratigrafia dove i primi 8-10 m da intradosso fondazione sono caratterizzati da "depositi di versante".

Più in dettaglio tale le litologie presentano le seguenti caratteristiche:

| | |
|-------------------------------|---|
| γ (kN/m ³) | 21÷23 |
| c'_{picco} (kPa) | 0 |
| ϕ'_{picco} (°) | 38° ÷ 40° (p'ff=0-272KPa) / 36° ÷ 38° (p'ff=272-350KPa) |
| C_{residuo} (kPa) | 0 |
| ϕ_{residuo} (°) | 33° ÷ 35° |
| k_o (-) | 0.4-0.5 |
| V_s (m/sec) | 200+10 z |
| G'_o (MPa) | $G'_o = 1730 \cdot p_a \cdot \left(\frac{p'_o}{p_a} \right)^{0.6}$ |
| $E' *$ (MPa) | $E = (19 \div 30) \cdot (z)^{0.7}$ |
| v' (-) | 0.2 |
| K (m/s) | $10^{-5} - 10^{-6}$ |

Simbologia:

γ_t = peso di volume naturale;

N_{SPT} = resistenza penetrometrica dinamica in prova SPT;

ϕ' = angolo di attrito operativo;

c' = intercetta di coesione operativa;

ϕ'_r = angolo di attrito residuo;

c'_r = intercetta di coesione residua;

OCR = grado di sovraconsolidazione;

σ'_{vo} = pressione verticale efficace geostatica;

| | | | | |
|---|---|---|------------------|---------------------------|
|  |  | Ponte sullo Stretto di Messina PROGETTO DEFINITIVO | | |
| RELAZIONE TECNICO DESCRITTIVA DELL'OPERA | | <i>Codice documento</i> CS0480_F0 | <i>Rev</i> F0 | <i>Data</i> 20/06/2011 |

σ_{vmax}' = pressione verticale efficace massima subita dal deposito;

c_u = resistenza al taglio non drenata riferita a tensioni di consolidazione pari a quelle geostatiche e a condizioni di carico tipo quelle delle prove triassiali di compressione e carico;

k_o = coefficiente di spinta del terreno a riposo;

k_v = coefficiente di permeabilità verticale riferito a pressioni di consolidazione pari a quelle geostatiche e a problemi di flusso diretto principalmente nella direzione verticale;

V_s = velocità di propagazione delle onde di taglio;

G_o = modulo di taglio iniziale riferito alle pressioni efficaci geostatiche;

E' = modulo di Young "operativo"; * = si considerano valori nel range per gallerie, fronti di scavo sostenuti, opere di sostegno tirantate o puntonate; valori al minimo del range per fondazioni dirette, fondazioni su pali e rilevati.

ν' (-) = coefficiente di Poisson

p_a = pressione atmosferica di riferimento, espressa in MPa

p'_o = pressione efficace alla profondità z , espressa in MPa

La posizione della falda è individuata a -15 m da p.c., pertanto nel proseguo della relazione si considererà assente la falda in quanto ininfluyente nei dimensionamenti.

Per un maggior dettaglio della caratterizzazione geotecnica dei suoli si rimanda alla relazione generale CG0800PRBDCSBC8G00000001B.

Per un maggior dettaglio della stratigrafia di profilo si rimanda agli elaborati:

Profilo geologico-geotecnico 1:2000 CG0800 P F6 D C SB C6 ST 00 00 00 03 B

Profilo idrogeologico stradale 1:2000 CG0800 P F6 D C SB C6 ST 00 00 00 04 B

Nel seguito si porta un estratto di dettaglio per la zona in esame.

Descrizione delle litologie prevalenti

Le litologie prevalenti sono costituite dalle formazioni dei Depositi di versante

Depositi di versante: sono depositi detritici olocenici alimentati da processi di degradazione e trasporto dovuto sia alle acque di dilavamento che alla gravità ed accumulati, in genere, alla base

| | | | | |
|---|---|---|------------------|---------------------------|
|  |  | Ponte sullo Stretto di Messina PROGETTO DEFINITIVO | | |
| RELAZIONE TECNICO DESCRITTIVA DELL'OPERA | | <i>Codice documento</i> CS0480_F0 | <i>Rev</i> F0 | <i>Data</i> 20/06/2011 |

dei versanti. Affiora come un deposito di sabbie di colore rossastro da medie a grossolane, solo subordinatamente fini, con rare intercalazioni di livelli di ghiaiosi o limosi.

Localmente non ci sono indagini che indagano nei primi 30m di profondità per la caratterizzazione sismica del suolo.

Per definire la categoria sismica locale ci si è riferiti al sondaggio SG11, simile dal punto di vista lito-stratigrafico fornisce una categoria B ($V_{s30}=411$ m/s).

Indagini previste

Data l'esiguità dei sondaggi e delle prove localmente presenti (C424, S6(ANAS_2005)), si è scelto di tenere conto anche di altri sondaggi e prove disponibili.

Le prove localmente utilizzate nella caratterizzazione sono:

Depositi di versante

Si considerano i sondaggi della caratterizzazione generale.

- prove SPT (C406,C407,C423BIS,C424,C421,C425,C433,C424)
- 2 prove sismiche (SG11,C423BIS)
- Prove di laboratorio per la determinazione dei parametri fisici

Caratterizzazione geotecnica

Per i criteri e per gli aspetti generali di caratterizzazione si rimanda a quanto riportato nella relazione Elab. CG0800PRBDCSBC8G000000001A. Per la definizione delle categorie di suolo si rimanda al medesimo elaborato ed alla relazione sismica di riferimento.

Depositi di versante

Per le caratteristiche fisiche l'andamento del fuso conferma che le caratteristiche granulometriche dei materiali in esame sono tipiche di materiali sia di materiali a grana grossa (ghiaie 12%), sia di materiali intermedi (sabbie 60%). Il contenuto di fino è mediamente del 22%.

Con riferimento al fuso medio si ha:

- Il valore di D_{50} è pari a 0.25mm
- Il valore di D_{60} è pari a 0.4 mm
- Il valore di D_{10} è pari a 0.005 mm

Il peso di volume dei grani γ_s è risultato pari a circa 26 kN/m³;

| | | | | |
|---|---|---|------------------|---------------------------|
|  |  | Ponte sullo Stretto di Messina PROGETTO DEFINITIVO | | |
| RELAZIONE TECNICO DESCRITTIVA DELL'OPERA | | <i>Codice documento</i> CS0480_F0 | <i>Rev</i> F0 | <i>Data</i> 20/06/2011 |

Per lo stato iniziale dalle elaborazioni risulta che:

- **Dr**: la densità relativa media della sola componente sabbiosa è del 40-70%. I valori di N_{spt} sono stati corretti con un fattore $C_{sg}=0.95$.
- γ_d : si può stimare un valore medio di γ_d pari a circa 19 -21 KN/m³

Per i parametri di resistenza al taglio in termini di sforzi efficaci sulla base delle prove SPT si è ottenuto un valore medio di angolo di attrito di 38°, ai parametri di resistenza operativi al taglio in termini di sforzi efficaci si sono assegnati i seguenti valori operativi:

$c_p' = 0$ kPa = coesione apparente

$\phi_p' = 36\div 38^\circ$ =angolo di resistenza al taglio

Per i valori di stato critico, in assenza di prove specifiche, in base ai dati di letteratura si possono definire i seguenti valori operativi

$c_r' = 0$ kPa = coesione apparente

$\phi_r' = 33^\circ\text{-}35^\circ$ =angolo di resistenza al taglio

Per le caratteristiche di deformabilità dalle prove sismiche in foro si ottengono valori di V_s che mostrano una tendenza all'aumento con la profondità con valori che arrivano a 200 m/s fino a 10m di profondità.

Ai valori delle velocità di taglio V_s corrispondono moduli di taglio iniziali G_0 che mostrano un andamento crescente con la profondità, da 80MPa a 160MPa a 10m di profondità.

Da prove SPT invece valori di G_0 variano da 30 a 130MPa nei primi 10m.

Per G ed E_0 una stima è data quindi da:

$$G_0 = 20 \cdot (z)^{0.85}$$

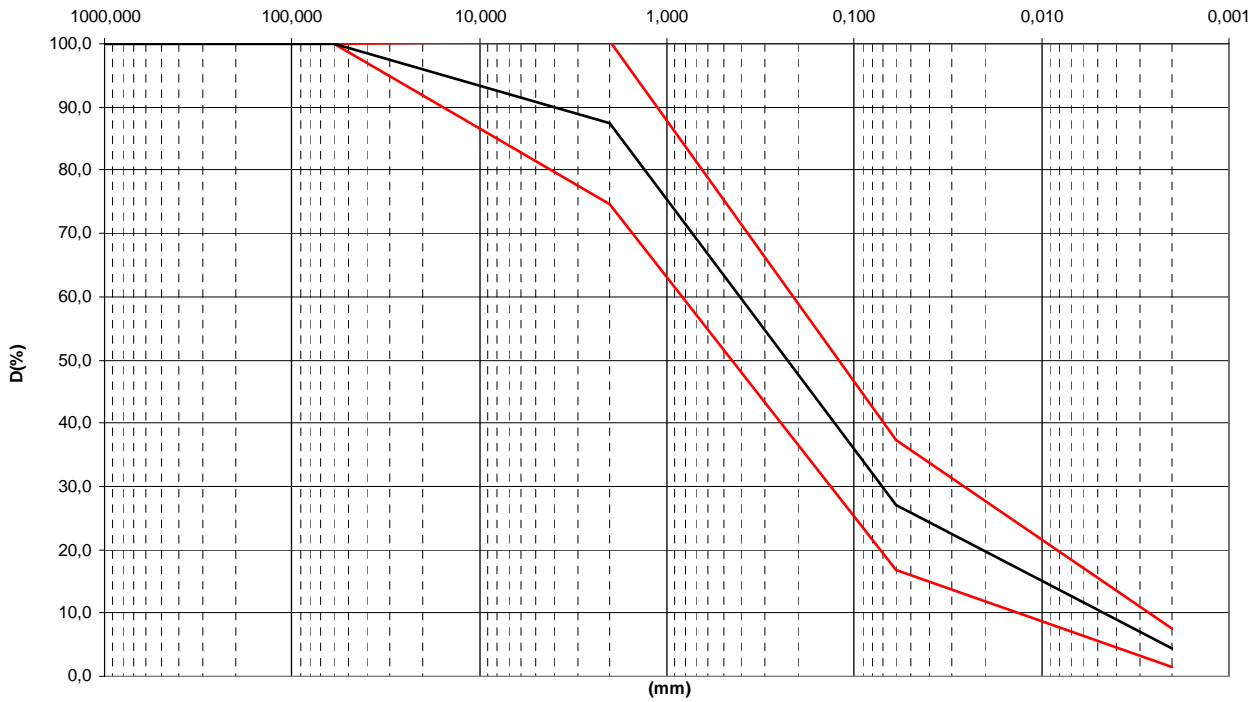
$$E_0 = 48 \cdot (z)^{0.85}$$

I moduli di Young "operativi" a medie deformazioni, valutati sulla base dei criteri descritti nei capitoli precedenti risulteranno pari a:

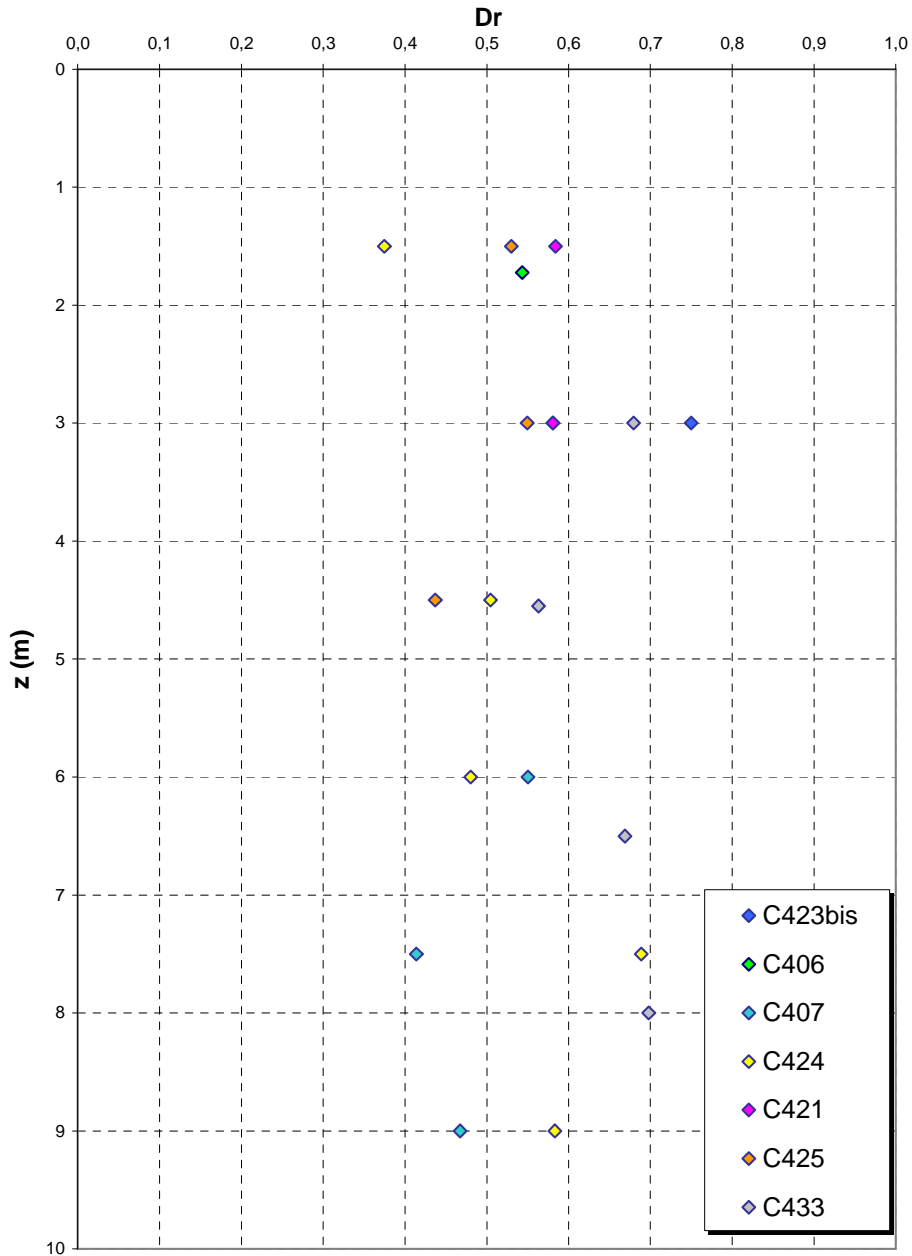
$$E = (6 \div 16) \cdot (z)^{0.85}$$

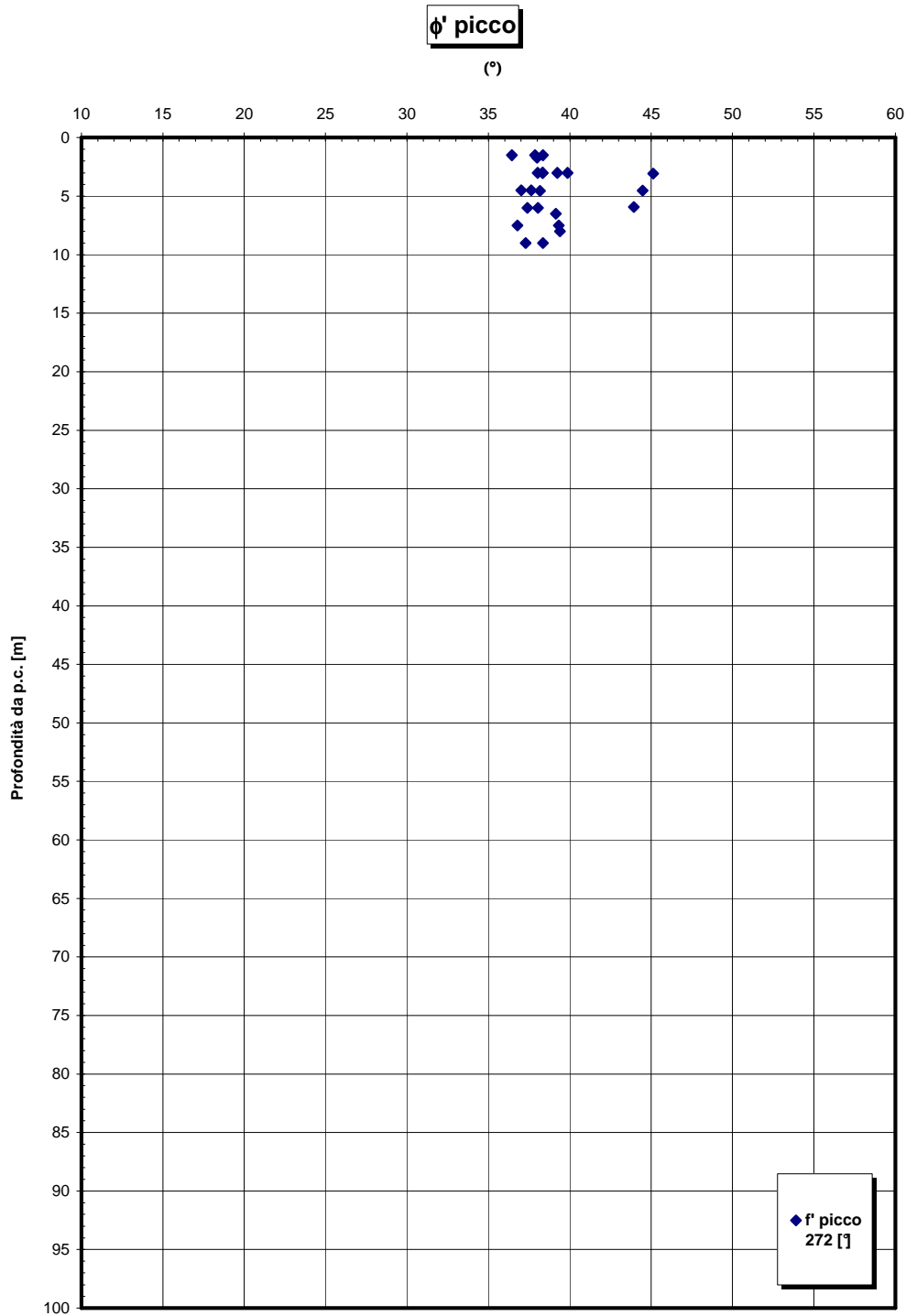
pari rispettivamente a circa 1/5÷1/10 ed 1/3 di quelli iniziali.

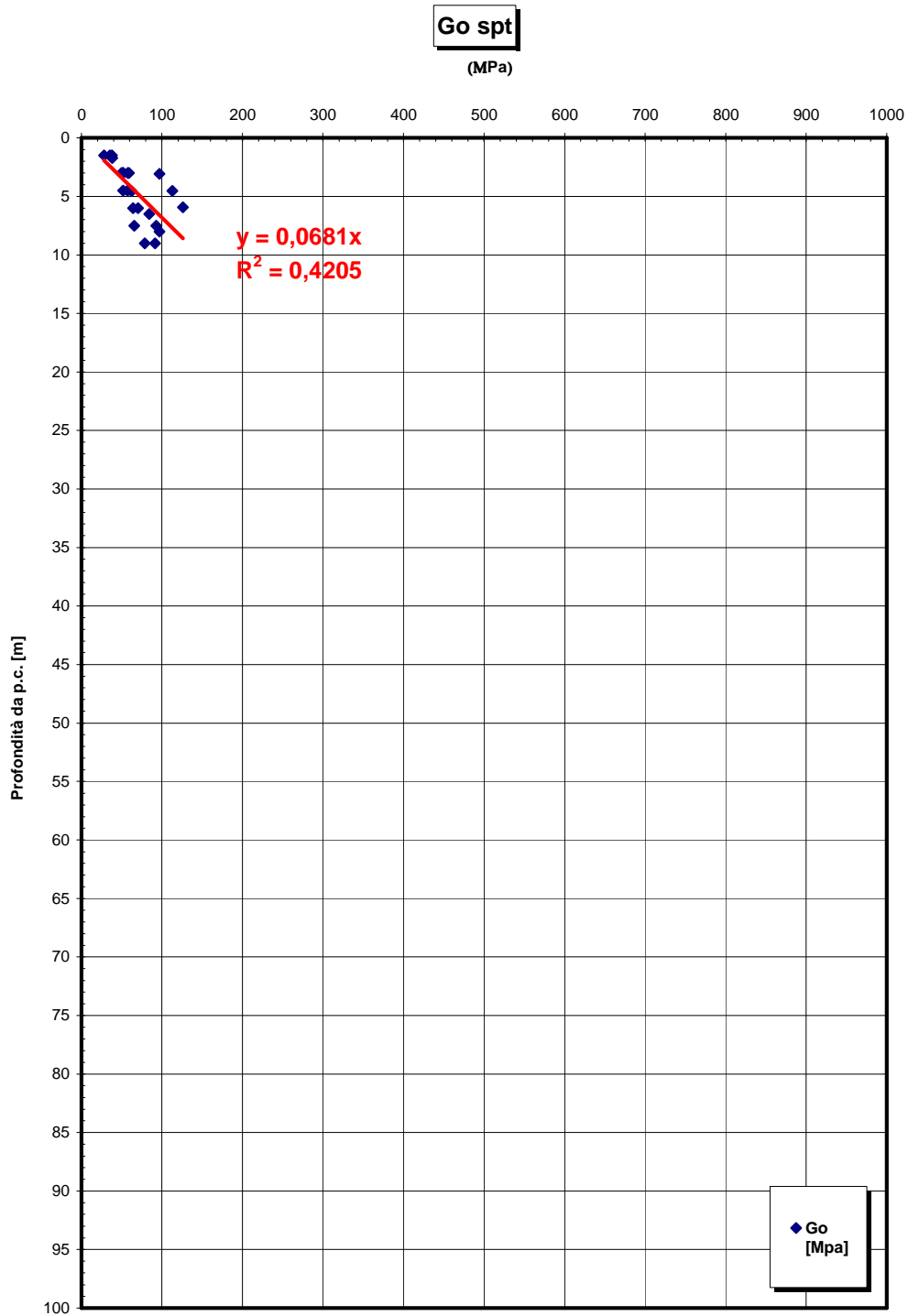
Depositi di versante



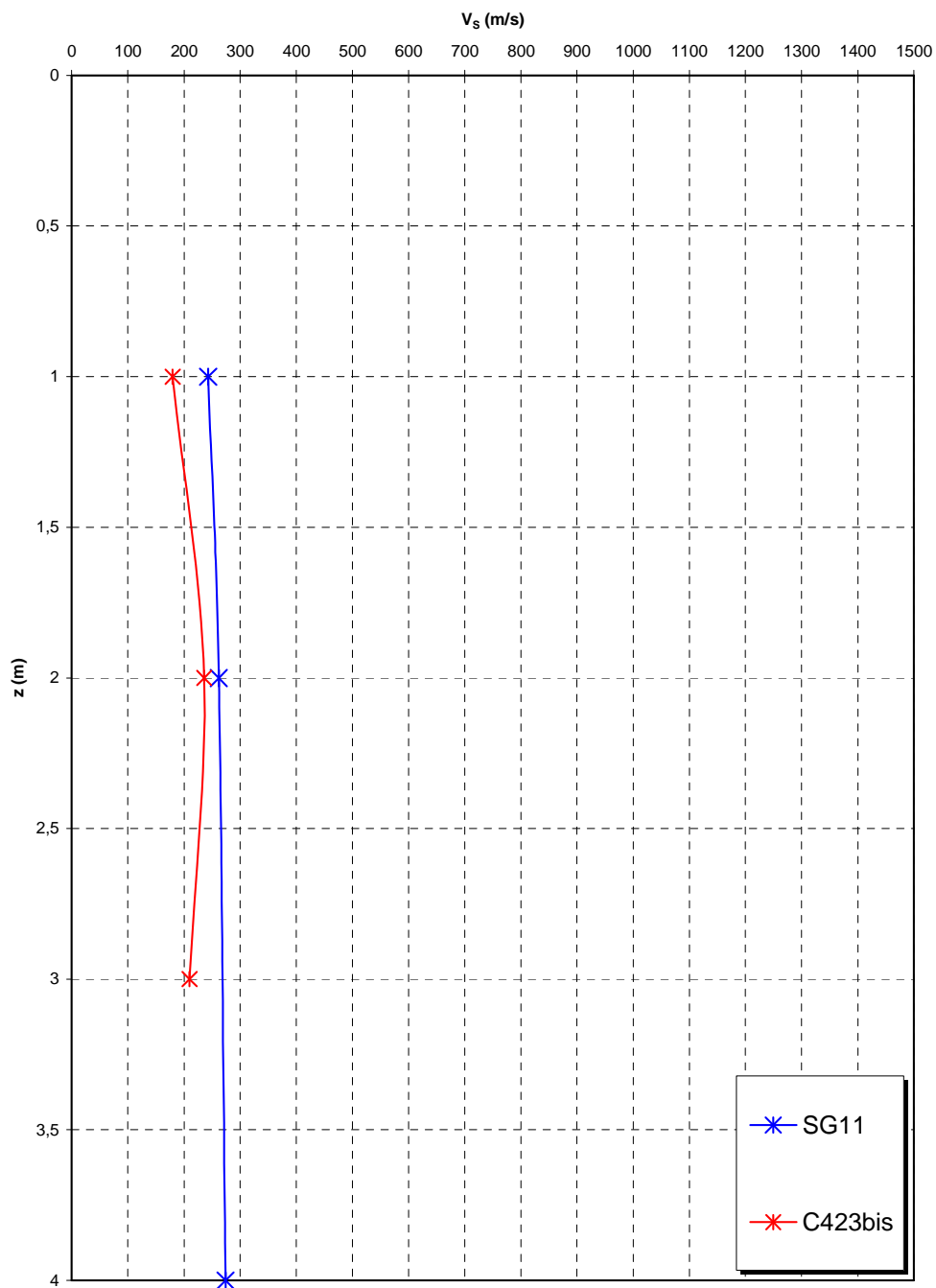
**Dr Skempton (1986)
Componente sabbiosa prevalente
DEPOSITI DI VERSANTE**

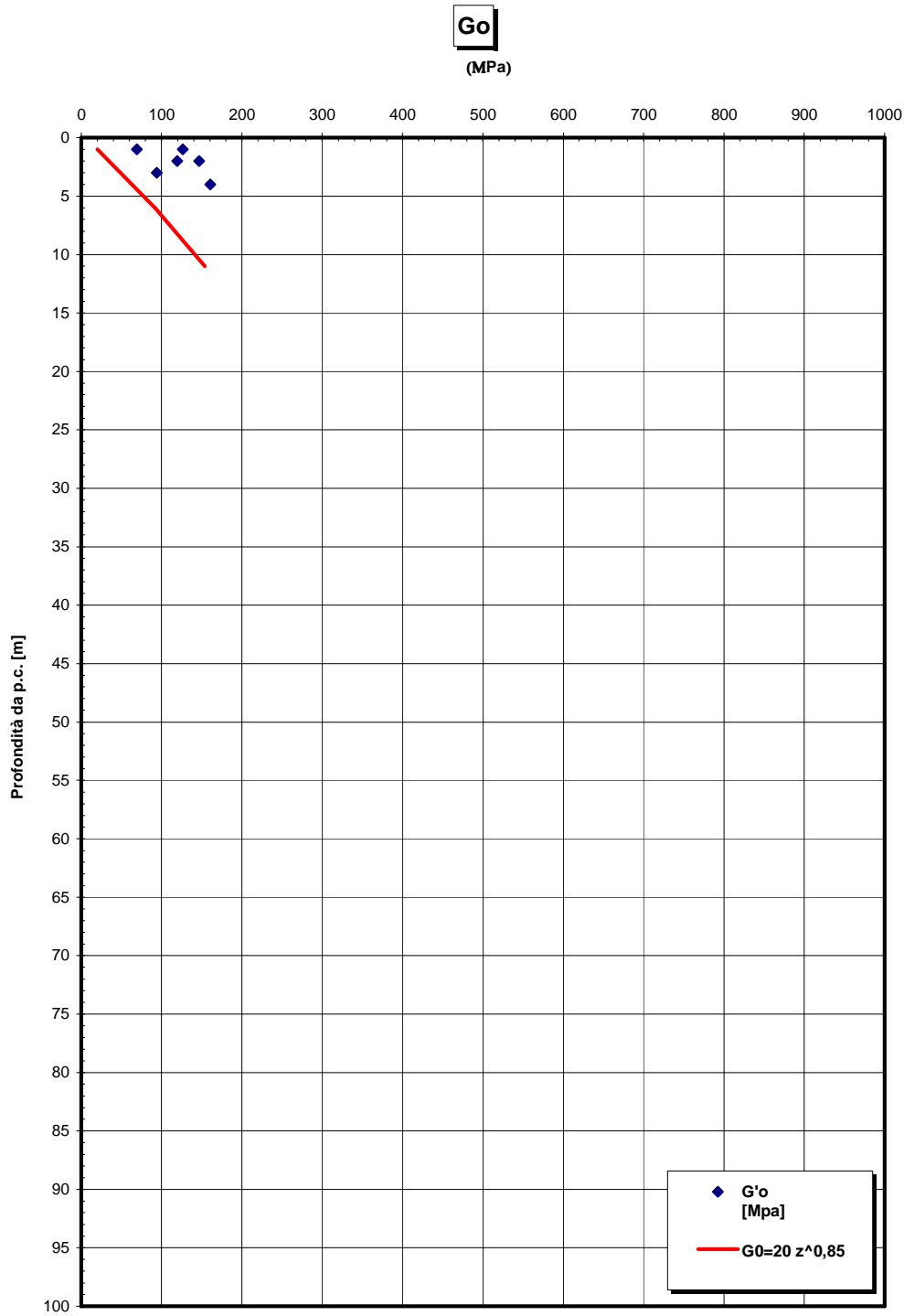




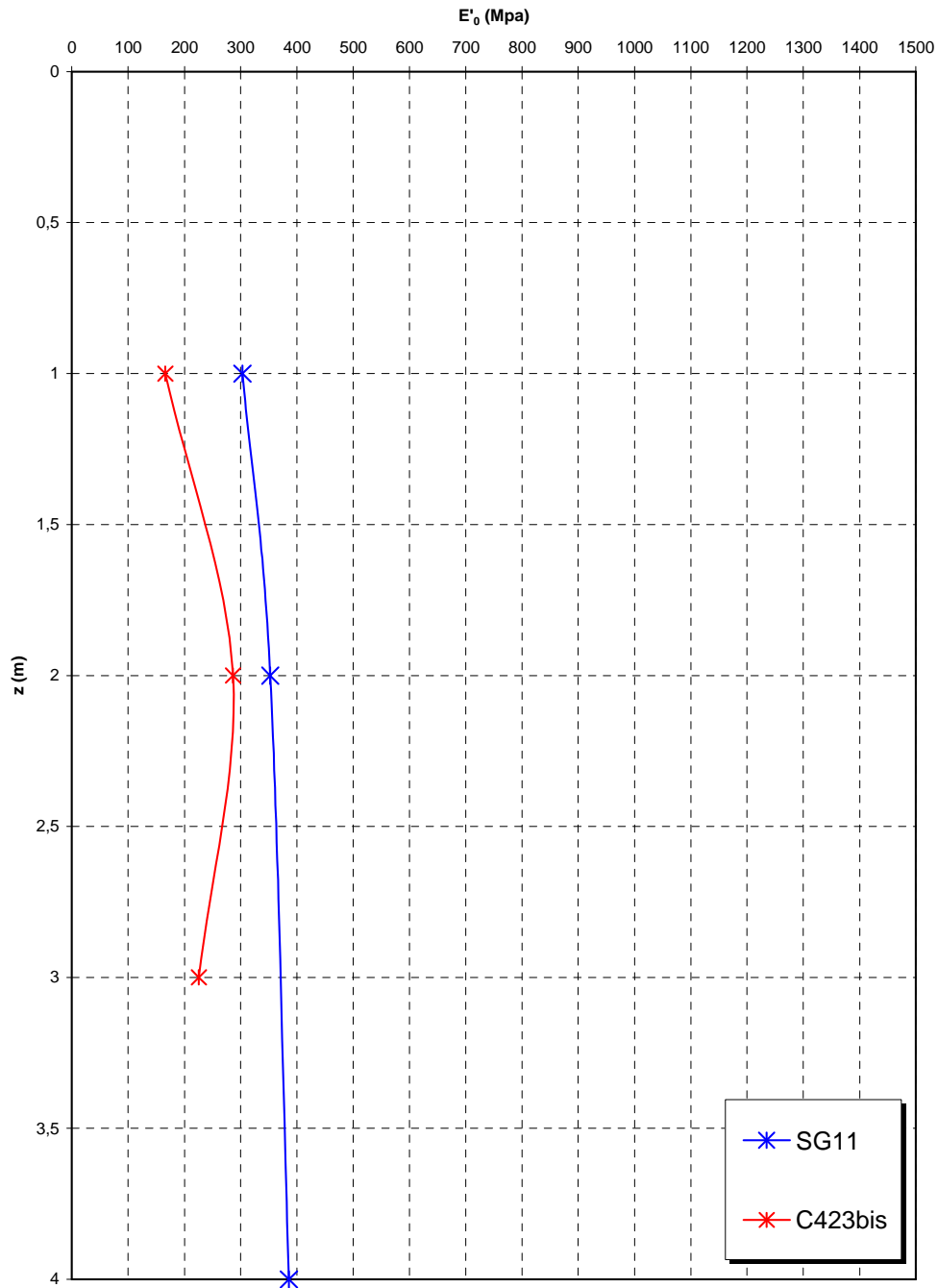


**Prove sismiche
DEPOSITI DI VERSANTE**





**Prove sismiche
DEPOSITI DI VERSANTE**



| | | | | |
|---|---|---|------------------|---------------------------|
|  |  | Ponte sullo Stretto di Messina PROGETTO DEFINITIVO | | |
| RELAZIONE TECNICO DESCRITTIVA DELL'OPERA | | <i>Codice documento</i> CS0480_F0 | <i>Rev</i> F0 | <i>Data</i> 20/06/2011 |

4.3 CARATTERIZZAZIONE DELLA SISMICITA' DEL LUOGO

L'effetto dell'azione sismica di progetto sull'opera nel suo complesso, includendo il volume significativo di terreno, la struttura di fondazione, gli elementi strutturali e non, nonché gli impianti, deve rispettare gli stati limite ultimi e di esercizio definiti al § 3.2.1, i cui requisiti di sicurezza sono indicati nel § 7.1 della norma.

Il rispetto degli stati limite si considera conseguito quando:

- nei confronti degli stati limite di esercizio siano rispettate le verifiche relative al solo Stato Limite di Danno;
- nei confronti degli stati limite ultimi siano rispettate le verifiche relative al solo Stato Limite di salvaguardia della Vita.

Per Stato Limite di Danno (SLD) s'intende che l'opera, nel suo complesso, a seguito del terremoto, includendo gli elementi strutturali, quelli non strutturali, le apparecchiature rilevanti alla sua funzione, subisce danni tali da non provocare rischi agli utenti e non compromette significativamente la capacità di resistenza e di rigidezza nei confronti delle azioni verticali e orizzontali. Lo stato limite di esercizio comporta la verifica delle tensioni di lavoro, in conformità al § 4.1.2.2.5 [NT_1].

Per Stato Limite di salvaguardia della Vita (SLV) si intende che l'opera a seguito del terremoto subisce rotture e crolli dei componenti non strutturali e impiantistici e significativi danni di componenti strutturali, cui si associa una perdita significativa di rigidezza nei confronti delle azioni orizzontali (creazione di cerniere plastiche secondo il criterio della gerarchia delle resistenze), mantenendo ancora un margine di sicurezza (resistenza e rigidezza) nei confronti delle azioni verticali.

Gli stati limite, sia di esercizio sia ultimi, sono individuati riferendosi alle prestazioni che l'opera a realizzarsi deve assolvere durante un evento sismico; per la funzione che l'opera deve espletare nella sua vita utile, è significativo calcolare lo Stato Limite di Danno (SLD) per l'esercizio e lo Stato Limite di Salvaguardia della Vita (SLV) per lo stato limite ultimo.

Per la definizione dell'azione sismica, occorre definire il periodo di riferimento P_{VR} in funzione dello stato limite considerato.

La vita nominale (V_N) dell'opera è stata assunta pari a $V_N = 100$ anni.

| | | | | |
|---|---|---|------------------|---------------------------|
|  |  | Ponte sullo Stretto di Messina PROGETTO DEFINITIVO | | |
| RELAZIONE TECNICO DESCRITTIVA DELL'OPERA | | <i>Codice documento</i> CS0480_F0 | <i>Rev</i> F0 | <i>Data</i> 20/06/2011 |

La classe d'uso assunta è la IV, da cui $C_u=2$.

Il periodo di riferimento (V_R) per l'azione sismica, data la vita nominale e la classe d'uso vale:

$$V_R = V_N \cdot C_u = 200 \text{ anni}$$

I valori di probabilità di superamento del periodo di riferimento P_{VR} , cui riferirsi per individuare l'azione sismica agente è:

$$P_{VR}(\text{SLD}) = 63\%$$

$$P_{VR}(\text{SLV}) = 10\%$$

Il periodo di ritorno dell'azione sismica T_R espresso in anni, vale:

$$T_R(\text{SLD}) = \frac{V_r}{\ln(1 - P_{vr})} = 201 \text{ anni}$$

$$T_R(\text{SLV}) = \frac{V_r}{\ln(1 - P_{vr})} = 1898 \text{ anni}$$

Dato il valore del periodo di ritorno suddetto, tramite le tabelle riportate nell'Allegato B della norma o tramite la mappatura messa a disposizione in rete dall'Istituto Nazionale di Geofisica e Vulcanologia (INGV), è possibile definire i valori di a_g , F_0 , T^*_c .

a_g → accelerazione orizzontale massima del terreno su suolo di categoria A, espressa come frazione dell'accelerazione di gravità;

F_0 → valore massimo del fattore di amplificazione dello spettro in accelerazione orizzontale;

T^*_c → periodo di inizio del tratto a velocità costante dello spettro in accelerazione orizzontale;

S → coefficiente che comprende l'effetto dell'amplificazione stratigrafica (S_s) e dell'amplificazione topografica (S_t);

I valori delle caratteristiche sismiche (a_g , F_0 , T^*_c) per lo Stato Limite di salvaguardia della Vita sono:

Per SLD → ($a_g=0,121g$; $F_0=2,317$; $T^*_c=0,319s$)

Per SLV → ($a_g=0,337g$; $F_0=2,455$; $T^*_c=0,388s$)

Il sottosuolo su cui insiste l'opera può essere inserito nella categoria "B".

Il valore del coefficiente di amplificazione stratigrafico risulta:

$S_s(\text{SLD}) = 1,4 - 0,4 \cdot F_0 \cdot a_g/g = 1,287$ essendo il valore $> 1,2$ si assume $S_s(\text{SLD}) = 1,2$

$S_s(\text{SLV}) = 1,4 - 0,4 \cdot F_0 \cdot a_g/g = 1,069$ essendo il valore > 1 si assume $S_s(\text{SLV}) = 1,07$

Le caratteristiche della superficie topografica possono essere assunte come categoria T1, adottando di conseguenza un valore di amplificazione topografica $S_T = 1,0$.

| | | | | | | | |
|---|---|---|---|------------|-------------|----|------------|
|  |  | Ponte sullo Stretto di Messina PROGETTO DEFINITIVO | | | | | |
| RELAZIONE TECNICO DESCRITTIVA DELL'OPERA | | <i>Codice documento</i> CS0480_F0 | <table border="1" style="width: 100%;"> <tr> <td style="width: 50%;"><i>Rev</i></td> <td style="width: 50%;"><i>Data</i></td> </tr> <tr> <td>F0</td> <td>20/06/2011</td> </tr> </table> | <i>Rev</i> | <i>Data</i> | F0 | 20/06/2011 |
| <i>Rev</i> | <i>Data</i> | | | | | | |
| F0 | 20/06/2011 | | | | | | |

L'accelerazione massima è valutata con la relazione:

$$a_{\max}(\text{SLD}) = S \cdot a_g = S_s \cdot S_T \cdot a_g = 1,2 \cdot 1,0 \cdot 0,121g = 0,145g$$

$$a_{\max}(\text{SLV}) = S \cdot a_g = S_s \cdot S_T \cdot a_g = 1,07 \cdot 1,0 \cdot 0,337g = 0,360g$$

L'applicazione delle azioni sismiche alle sottostrutture viene affrontato mediante il metodo pseudostatico ([NT_1] § 7.11.6). In queste condizioni l'azione sismica è rappresentata da una forza statica equivalente pari al prodotto delle forze di gravità per un opportuno coefficiente sismico.

L'analisi sismica è stata fatta considerando il valore di ancoraggio dello spettro.

L'azione sismica è rappresentata da un insieme di forze statiche orizzontali e verticali, date dal prodotto delle forze di gravità per i coefficienti sismici in precedenza definiti.

In merito alle opere scatolari di cui trattasi, nel rispetto del punto § 7.9.2., assimilando l'opera scatolare alla categoria delle spalle da ponte, rientrando tra le opere che si muovono con il terreno (§ 7.9.2.1), si può ritenere che la struttura debba mantenere sotto l'azione sismica un comportamento elastico; queste categorie di opere che si muovono con il terreno non subiscono le amplificazioni dell'accelerazione del suolo.

Nelle verifiche allo Stato Limite Ultimo, i valori dei coefficienti sismici orizzontali k_h e verticale k_v possono essere valutati mediante le espressioni:

$$k_h = \beta_m \cdot \frac{a_{\max}}{g} \qquad k_v = \pm 0.5 \cdot k_h$$

dove

a_{\max} = accelerazione orizzontale massima attesa al sito;

g = accelerazione di gravità;

β = parametro riduttivo dell'azione sismica in accordo con il §7.11.6.2.1

Essendo lo scatolare una struttura che non ammette spostamenti relativi rispetto al terreno, il coefficiente β_m , assume il valore 1.

Le spinte delle terre, considerando lo scatolare una struttura rigida e priva di spostamenti (NT § 7.11.6.2.1 e EC8-5 § 7.3.2.1), sono calcolate in regime di spinta a riposo che comporta il calcolo delle spinte sismiche in tali condizioni; l'incremento dinamico di spinta del terreno può essere

| | | | | |
|---|---|---|------------------|---------------------------|
|  |  | Ponte sullo Stretto di Messina PROGETTO DEFINITIVO | | |
| RELAZIONE TECNICO DESCRITTIVA DELL'OPERA | | <i>Codice documento</i> CS0480_F0 | <i>Rev</i> F0 | <i>Data</i> 20/06/2011 |

calcolato come:

$$\Delta P_d = S \cdot a_g / g \cdot \gamma \cdot h_{tot}^2$$

Il punto di applicazione della spinta che interessa lo scatolare è posto $h_{scat}/2$, con "h_{tot}" altezza dal piano stradale alla fondazione dello scatolare e h_{scat} l'altezza dello scatolare.

Essendo "ΔP_d" la risultante globale, ed il diagramma di spinta di tipo rettangolare, è immediato ricavare la quota parte della spinta che agisce sul piedritto dello scatolare.

L'azione sismica è rappresentata da un insieme di forze statiche orizzontali e verticali, date dal prodotto delle forze di gravità per i coefficienti sismici in precedenza definiti, di cui la componente verticale è considerata agente verso l'alto o verso il basso, in modo da produrre gli effetti più sfavorevoli.

| | | | | |
|---|---|---|------------------|---------------------------|
|  |  | Ponte sullo Stretto di Messina PROGETTO DEFINITIVO | | |
| RELAZIONE TECNICO DESCRITTIVA DELL'OPERA | | <i>Codice documento</i> CS0480_F0 | <i>Rev</i> F0 | <i>Data</i> 20/06/2011 |

4.4 CRITERI GENERALI DI PROGETTAZIONE

In ottemperanza al D.M. del 14.01.2008 (Norme tecniche per le costruzioni), i calcoli sono condotti con il metodo semiprobabilistico agli stati limite.

4.4.1 Durabilità delle opere

Per garantire la durabilità delle strutture in calcestruzzo armato ordinario, esposte all'azione dell'ambiente, si devono adottare i provvedimenti atti a limitare gli effetti di degrado indotti dall'attacco chimico, fisico e derivante dalla corrosione delle armature e dai cicli di gelo e disgelo. Al fine di ottenere la prestazione richiesta in funzione delle condizioni ambientali, nonché per la definizione della relativa classe, si fa riferimento alle indicazioni contenute nelle Linee Guida sul calcestruzzo strutturale edite dal Servizio Tecnico Centrale del Consiglio Superiore dei Lavori Pubblici ovvero alle norme UNI EN 206-1:2006 ed UNI 11104:2004. Per le opere della presente relazione si adottano le classi di esposizione indicate al §3.1 ricordando che per ciascuna classe di esposizione le condizioni ambientali da considerare sono le seguenti (in accordo con [NT_1]):

| Condizioni ambientali | Classe di esposizione |
|-----------------------|-----------------------------------|
| Ordinarie | X0, XC1, XC2, XC3, XF1 |
| Agressive | XC4, XD1, XS1, XA1, XA2, XF2, XF3 |
| Molto aggressive | XD2, XD3, XS2, XS3, XA3, XF4 |

Nella tabella seguente si riportano per completezza anche i limiti di apertura delle fessure in funzione delle condizioni ambientali e della sensibilità delle armature secondo [NT_1]:

| Gruppi di esigenze | Condizioni ambientali | Combinazione di azioni | Armatura | | | |
|--------------------|-----------------------|------------------------|--------------------|------------|----------------|------------|
| | | | Sensibile | | Poco sensibile | |
| | | | Stato limite | w_d | Stato limite | w_d |
| a | Ordinarie | frequente | ap. fessure | $\leq w_2$ | ap. fessure | $\leq w_3$ |
| | | quasi permanente | ap. fessure | $\leq w_1$ | ap. fessure | $\leq w_2$ |
| b | Agressive | frequente | ap. fessure | $\leq w_1$ | ap. fessure | $\leq w_2$ |
| | | quasi permanente | decompressione | - | ap. fessure | $\leq w_1$ |
| c | Molto aggressive | frequente | formazione fessure | - | ap. fessure | $\leq w_1$ |
| | | quasi permanente | decompressione | - | ap. fessure | $\leq w_1$ |

Per tutte le parti strutturali componenti l'opera in progetto si utilizzano armature **poco sensibili**.

| | | | | |
|---|---|---|------------------|---------------------------|
|  |  | Ponte sullo Stretto di Messina PROGETTO DEFINITIVO | | |
| RELAZIONE TECNICO DESCRITTIVA DELL'OPERA | | <i>Codice documento</i> CS0480_F0 | <i>Rev</i> F0 | <i>Data</i> 20/06/2011 |

5 FASI COSTRUTTIVE

La realizzazione dell'opera prevede le seguenti fasi principali di costruzione:

ESECUZIONI DI PRIMA FASE:

- sbancamento e preparazione del piano di posa del cls magro di sottofondazione
- cassetta delle fondazioni e getto delle parti in c.a.;

ESECUZIONI DI SECONDA FASE

- cassetta delle elevazioni e getto delle parti in c.a.;

ESECUZIONI DI TERZA FASE

- sistemazione dei rilevati come da elaborato: CG0700PP8DCSC00SPS1000001F0

6 ELABORATI DI RIFERIMENTO

Gli elaborati di riferimento per l'opera in esame sono i seguenti:

| | |
|--|---|
| Relazione tecnico descrittiva dell'opera | CG0700 P RG D C SC 00 SP S1 00 00 01 F0 |
| Scheda riassuntiva di rintracciabilità dell'opera | CG0700 P SH D C SC 00 SP S1 00 00 01 F0 |
| Relazione di calcolo | CG0700 P CL D C SC 00 SP S1 00 00 01 F0 |
| relazione geotecnica | CG0700 P RB D C SC 00 SP S1 00 00 01 F0 |
| Planimetria di progetto | CG0700 P P8 D C SC 00 SP S1 00 00 01 F0 |
| Pianta dell'opera, prospetti e sezioni trasversali | CG0700 P PZ D C SC 00 SP S1 00 00 01 F0 |